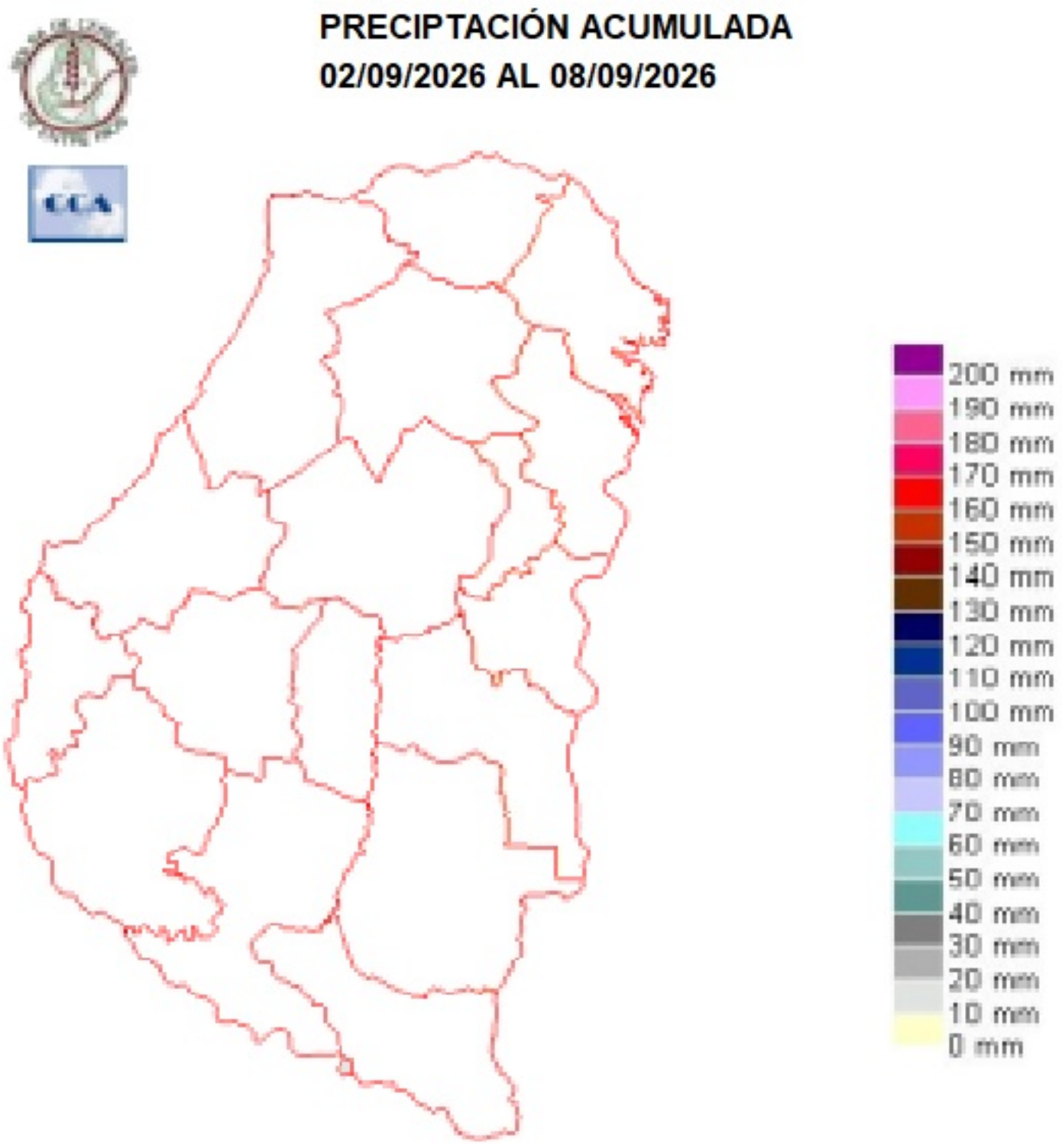
INFORME SEMANAL N ° 1248

Fecha: 9 de septiembre de 2026

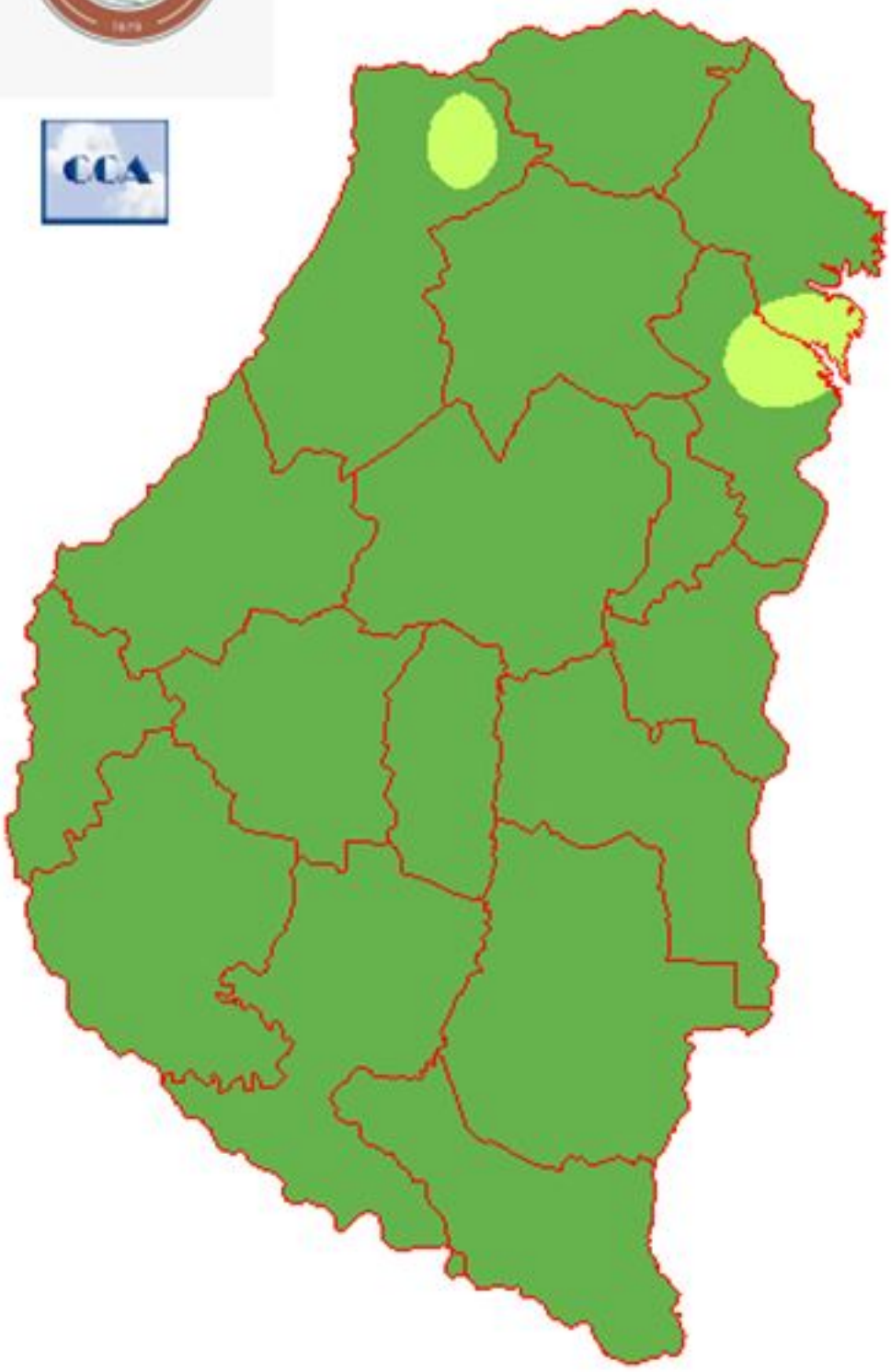
Lluvias: PRECIPITACIÓN ACUMULADA DESDE EL 02 AL 08 DE SEPTIEMBRE DE 2026
Detalles: Sin precipitaciones en la región.



Reservas: ESTADO DE LAS RESERVAS AL 09 DE SEPTIEMBRE 2026
Detalles: La transición intermensual se ha concretado sin que se observen precipitaciones, con una fuerte irrupción de aire polar durante el último fin de semana, lo cual derivó en un fortalecimiento de la estabilidad atmosférica, aun cuando se haya observado tránsito de nubosidad.
Las temperaturas entre el sábado y el martes ganaron el protagonismo y en algunos sectores del centro sur de la provincia se registraron heladas débiles durante el domingo. Las temperaturas máximas fueron creciendo conforme se volvió más persistente la insolación y por otra parte, ya desde el lunes, un cambio de circulación al este y luego noreste. Podríamos decir que en algún punto, este escenario térmico puede contrariar el avance de las siembras de maíz, al menos temporariamente.
El acopio de humedad el mes de agosto permite transitar este período sin notar un deterioro en las condiciones de reserva, de hecho zonas del norte han logrado mejorar significativamente la condición de piso gracias a la ausencia de precipitaciones. Esto también mejora la condición de la red de caminos rurales.
Lentamente se ha ido notando una recomposición del ambiente húmedo. Durante la jornada de hoy, viene avanzando un sistema frontal que ha dejado lluvias ligeras en el sudoeste de la región pampeana. Por otra parte el avance de esta onda hacia la madrugada del viernes encontrara una masa de aire con buena disponibilidad de humedad en la provincia, consecuentemente se altamente probable que reaparezcan las precipitaciones con cobertura en todo el territorio. Es posible que toda la jornada de mañana vaya mostrando el avance de sur a norte de esta perturbación, perfilándose hacia el final del día la rotación de los vientos al sector sudeste. Nuevamente para el fin de semana, las temperaturas ingresarán en modo invierno, con un marcado cambio ambiental.

# ESTADO DE LAS RESERV

## al 09/09/



EXCESOS

RESERVA EXCESIVA

RESERVA ÓPTIMA

RESERVA ADECUAD

RESERVA REGULAR

RESERVA ESCASA

SEQUÍA

METODO
FORTE LA

Sección: ANOMALÍA DE LA PRECIPITACIÓN EN EL MES DE AGOSTO DEL 2026 EN LA PROVINCIA DE ENTRE RÍOS

El análisis del régimen de precipitaciones en la provincia de Entre Ríos durante el año 2026, contrastado con el promedio histórico del período 2004 – 2025, evidencia un comportamiento marcadamente excedente en gran parte del ciclo anual (Figura 1).

En primer lugar, se destaca el superávit registrado de manera consecutiva durante el trimestre invernal. Habitualmente, el período comprendido por los meses de junio, julio y agosto representa el trimestre con menor acumulado pluviométrico, con un valor histórico de referencia de 131 mm. Sin embargo, en el presente año este registro ascendió a 276 mm, lo que significó un incremento significativo del 111 %, equivalente a un aumento absoluto de 145 mm. Este comportamiento contrasta notablemente con la estacionalidad habitual, impulsado principalmente por el registro de agosto, mes que mostró un salto sustancial frente al promedio histórico (118 mm frente a los ~51 mm habituales).

Por otra parte, al evaluar el balance acumulado del año entre enero y agosto, se observa que el valor esperado histórico se sitúa en 708 mm, mientras que el acumulado actual alcanza los 848 mm. Esto representa un desvío positivo del 20 %, traduciéndose en un excedente de 140 mm en lo que va del período.

Si bien el año presenta una alta variabilidad mensual —con meses que exhibieron mermas puntuales respecto a la media (como enero y mayo)—, la tónica general está dominada por episodios de precipitaciones abundantes. Entre ellos sobresale el mes de abril, que registró un pico máximo mensual cercano a los 183 mm, contribuyendo de manera decisiva al superávit hídrico acumulado en la provincia.

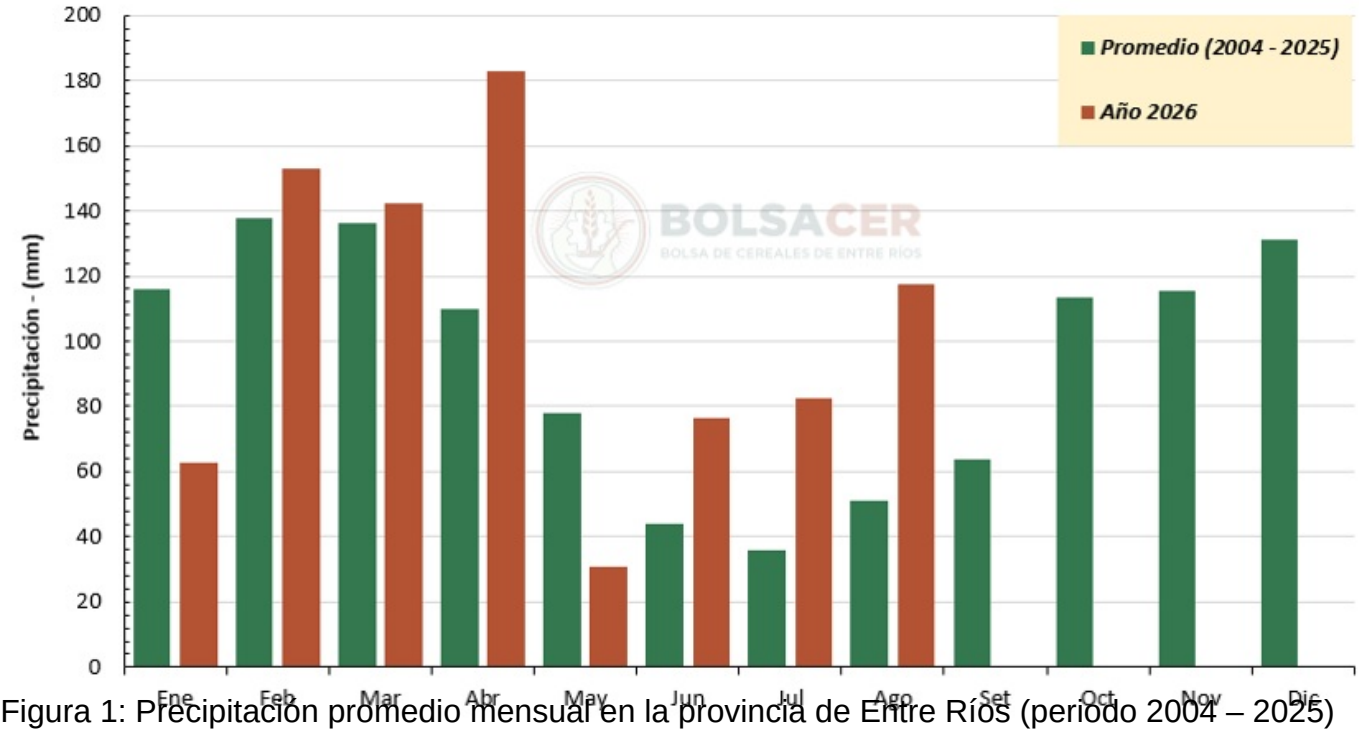



Figura 1: Precipitación promedio mensual en la provincia de Entre Ríos (período 2004 – 2025) versus el año 2026 de enero a agosto.

Al analizar la distribución territorial de las lluvias de agosto de 2026 en la provincia de Entre Ríos, se observa una marcada disparidad espacial en comparación con el comportamiento histórico (Figura 2).

**Promedio Histórico (2004–2025)**

El valor acumulado histórico para el mes de agosto fluctúa dentro del rango entre los 30 y 60 mm en gran parte del territorio, mostrando un leve incremento gradual hacia el sector noreste de la provincia.

**Agosto 2026**

Durante el presente año, los valores mínimos registrados se ubicaron en la base de lo esperado (en torno a los 60 mm). Sin embargo, se evidenció un marcado incremento hacia el sector centro y norte, con acumulados que superaron holgadamente los 200 mm.

**Anomalía de la precipitación**

Como consecuencia de este régimen de lluvias concentrado, el mapa de anomalías refleja que en toda la franja del centro y norte provincial predominaron escenarios clasificados como extremadamente húmedos y hacia el sur de la región se detectaron condiciones levemente húmedas.

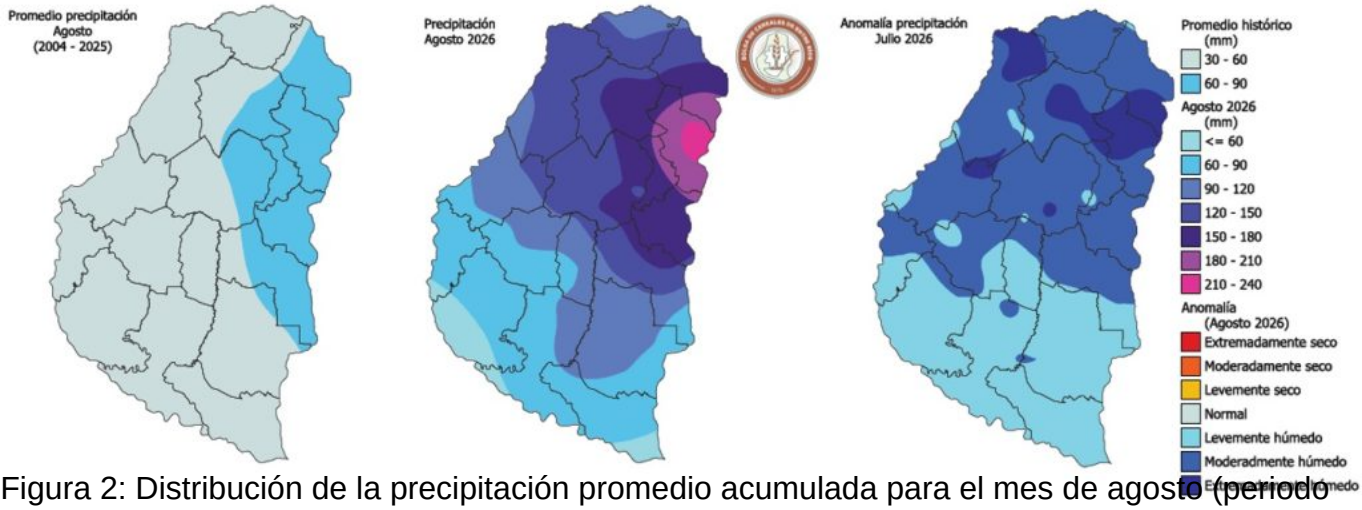


Figura 2: Distribución de la precipitación promedio acumulada para el mes de agosto (período 2004 – 2025) versus lo observado en agosto del 2026 en la provincia de Entre Ríos.

Sección: ANÁLISIS DE LAS TEMPERATURAS EN EL MES DE AGOSTO DEL 2026 EN LA PROVINCIA DE ENTRE RÍOS

La variación de la temperatura en el mes de agosto del 2026 evidenció la alternancia de pulsos fríos marcados y una recuperación hacia el cierre del período, tal como puede apreciarse en la Figura 1 que presenta el comparativo de las marcas térmicas del mes de agosto de 2026 frente al rango histórico del período 2023 – 2025, elaborado a partir de los datos de la red de centrales meteorológicas automáticas de la Bolsa de Cereales de Entre Ríos.

**Dinámica de las Temperaturas Mínimas**

Las mínimas de 2026 se mantuvieron en gran parte del mes alineadas o por debajo de la media histórica del período de referencia.

Se registraron dos eventos críticos de descenso abrupto que rozaron los 0 °C: el primero hacia el 8 y 9 de agosto, y un segundo episodio de mayor intensidad el día 22 de agosto, situándose en el límite inferior del rango histórico.

Hacia el final del mes (días 28 al 30), las mínimas experimentaron un paulatino ascenso, alejándose de los valores de helada.

**Dinámica de las Temperaturas Máximas**

Las marcas máximas mostraron una alta variabilidad diaria, iniciando el mes con valores cercanos a los 20 °C a 22 °C antes de sufrir una caída sostenida durante la primera quincena.

Durante el tramo central del mes (del 12 al 20 de agosto), las máximas se mantuvieron mayormente deprimidas por debajo de la media histórica, reflejando días persistentemente frescos.

A partir del 25 de agosto se observa una marcada tendencia en alza, culminando en los últimos días del mes con picos máximos que superaron los 22 °C, posicionándose por encima de la media de los años anteriores.

El comportamiento térmico de agosto de 2026 expone una marcada oscilación con predominio de condiciones frescas en comparación con el trienio 2023-2025, destacándose los riesgos de heladas agronómicas en momentos puntuales de mediados de mes.

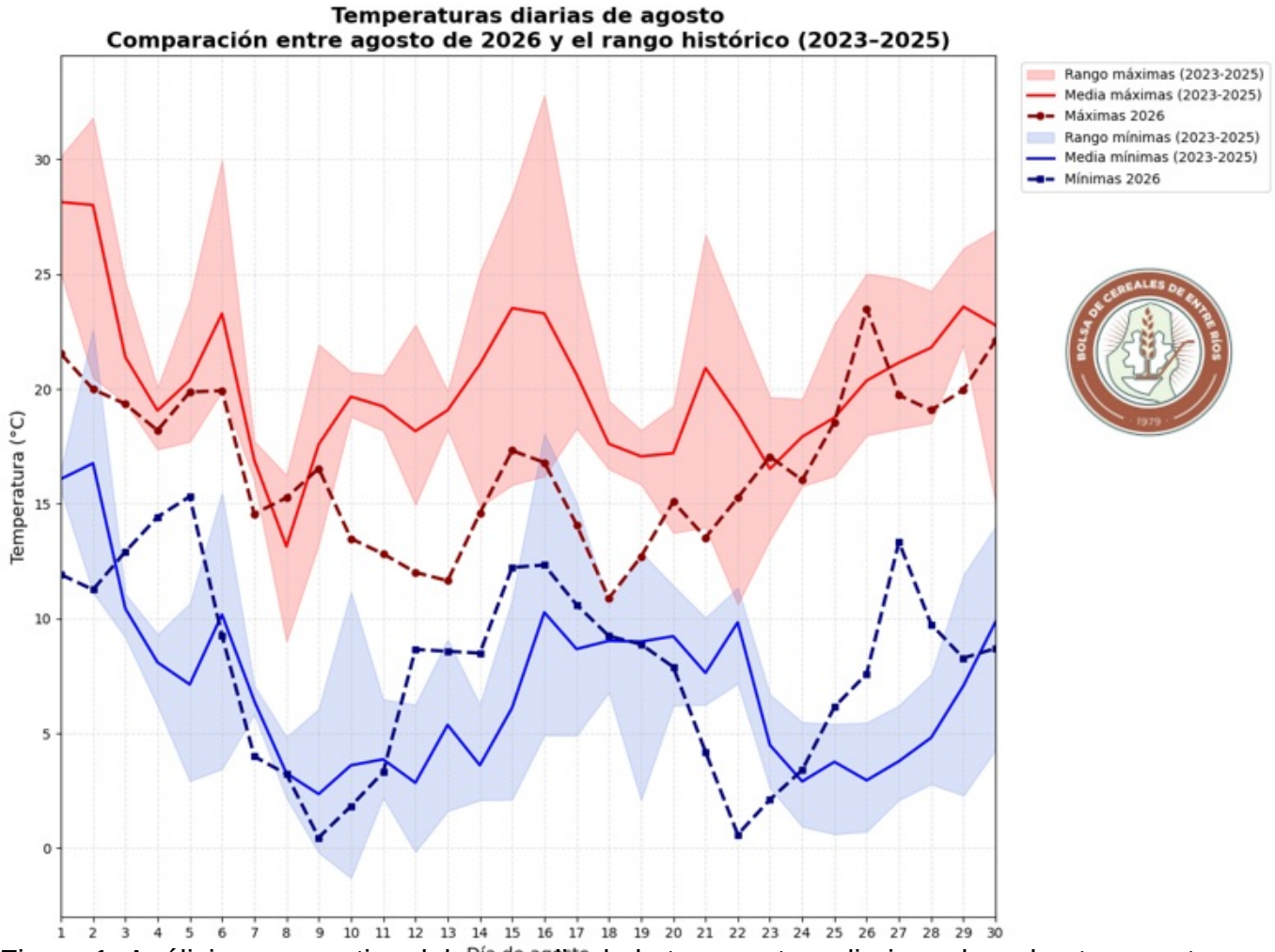


Figura 1: Análisis comparativo del promedio de la temperatura diaria en la red entre agosto 2026 versus el periodo (2023 – 2025) en la provincia de Entre Ríos.

En la Figura 2 se analiza la cantidad de días con ocurrencia de heladas meteorológicas y agronómicas.

**Heladas meteorológicas**

En el promedio diario de la red, no se registraron días con temperaturas mínimas absolutas por debajo de los 0 °C durante todo el mes, manteniéndose la curva de mínimos siempre en valores positivos.

**Heladas Agronómicas**

En el promedio diario de la red, se contabilizaron un total de 4 jornadas que perforaron el umbral de los 3 °C de temperatura mínima, concentrándose en pulsos específicos de frío los días:

- Domingo 9: El valor más destacado y cercano al plano de congelamiento, situándose ligeramente por encima de los 0,5 °C.
- Lunes 10: Manteniendo la inercia del pulso frío con registros aproximados de 1,8 °C.
- Martes 11: Último registro de esta primera secuencia fría, marcando algo más de 3 °C en el límite del umbral.

- Sábado 22: El segundo evento destacado del mes, registrando una mínima cercana a los 0,6 °C.

El mes de agosto de 2026 se caracterizó por una baja frecuencia de eventos de helada neta, registrando condiciones de riesgo agronómico solo en momentos puntuales de la primera y segunda mitad del período, sin alcanzar heladas de carácter meteorológico.

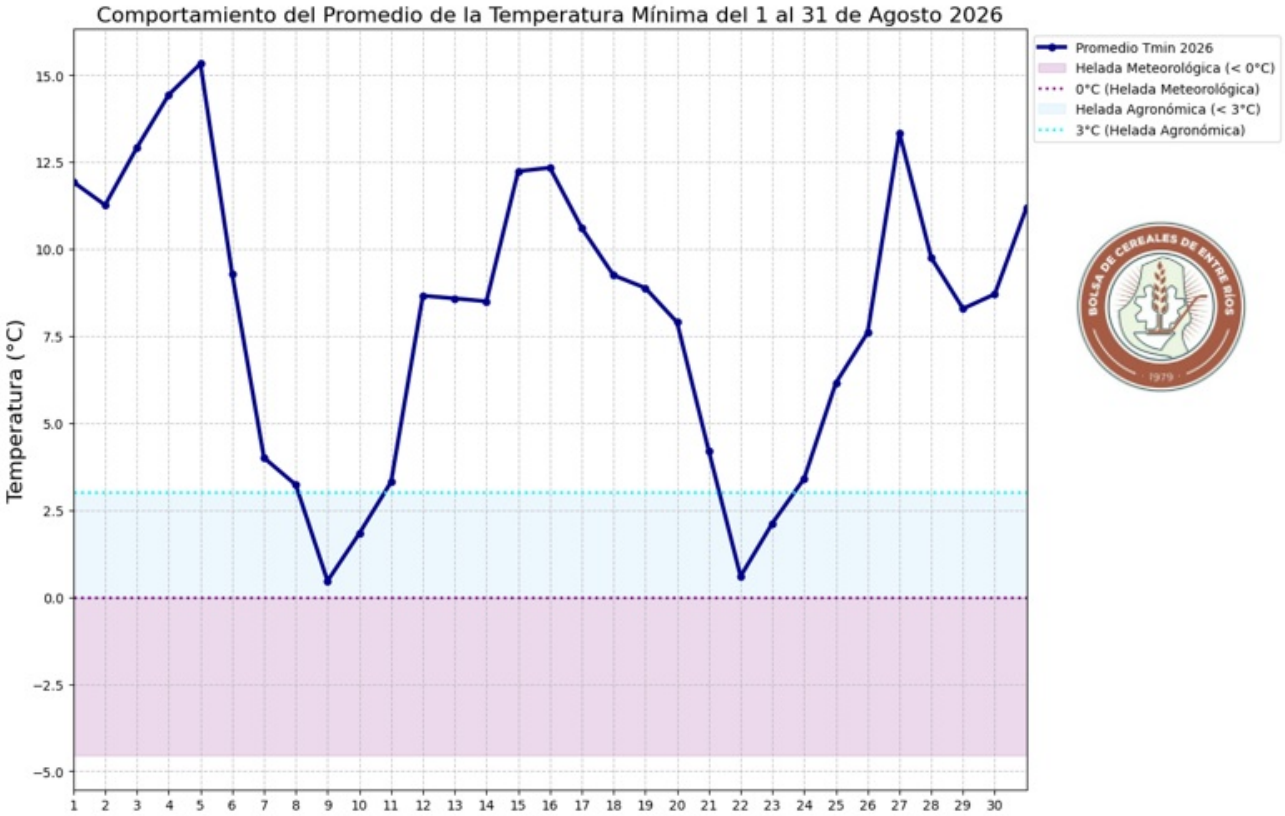


Figura 2: Análisis de la cantidad de días con heladas meteorológicas y agronómicas en el promedio de la temperatura diaria en la red para agosto del 2026 en la provincia de Entre Ríos.

Sección: SIEMBRA DE GIRASOL

En la provincia de Entre Ríos se concretó la siembra de aproximadamente el 40 % del área planificada con girasol que se posiciona alrededor de 22.000 ha, lo cual indicaría una reducción con respecto al ciclo 2025/26 del 15 % (3.800 ha).

No obstante, los colaboradores reportan que se están observando cambios en la planificación original, es decir, lotes que estaban destinados a la siembra de girasol y están siendo reemplazados por maíz o soja.

El principal motivo se debe al efecto del “Niño” que ya está instalado en el Pacífico Ecuatorial, lo cual generará incrementos en las precipitaciones en el verano y por lo tanto, es lógico pensar en una reducción en el potencial en el cultivo.

Sección: SIEMBRA DE MAÍZ DE PRIMERA

La siembra de maíz de primera continuó a buen ritmo durante el mes de septiembre en la provincia de Entre Ríos, aunque persisten algunas dificultades asociadas a los elevados niveles de humedad en los perfiles de suelo.
Para la campaña 2026/27, se estima una superficie total destinada al cultivo de maíz de 570.000 ha. Del total proyectado, aproximadamente el 95 % correspondería a maíz de primera, con una superficie estimada en 540.000 ha, mientras que el 5 % restante, unas 30.000 ha, correspondería a maíz tardío y de segunda.
A nivel provincial, el avance de siembra de maíz de primera se ubica actualmente en torno al 46 % del área planificada, equivalente a aproximadamente 248.000 ha.
En la Figura 1 se presenta el avance de siembra correspondiente a cada una de las zonas productivas de la provincia, donde pueden observarse diferencias en el ritmo de implantación.

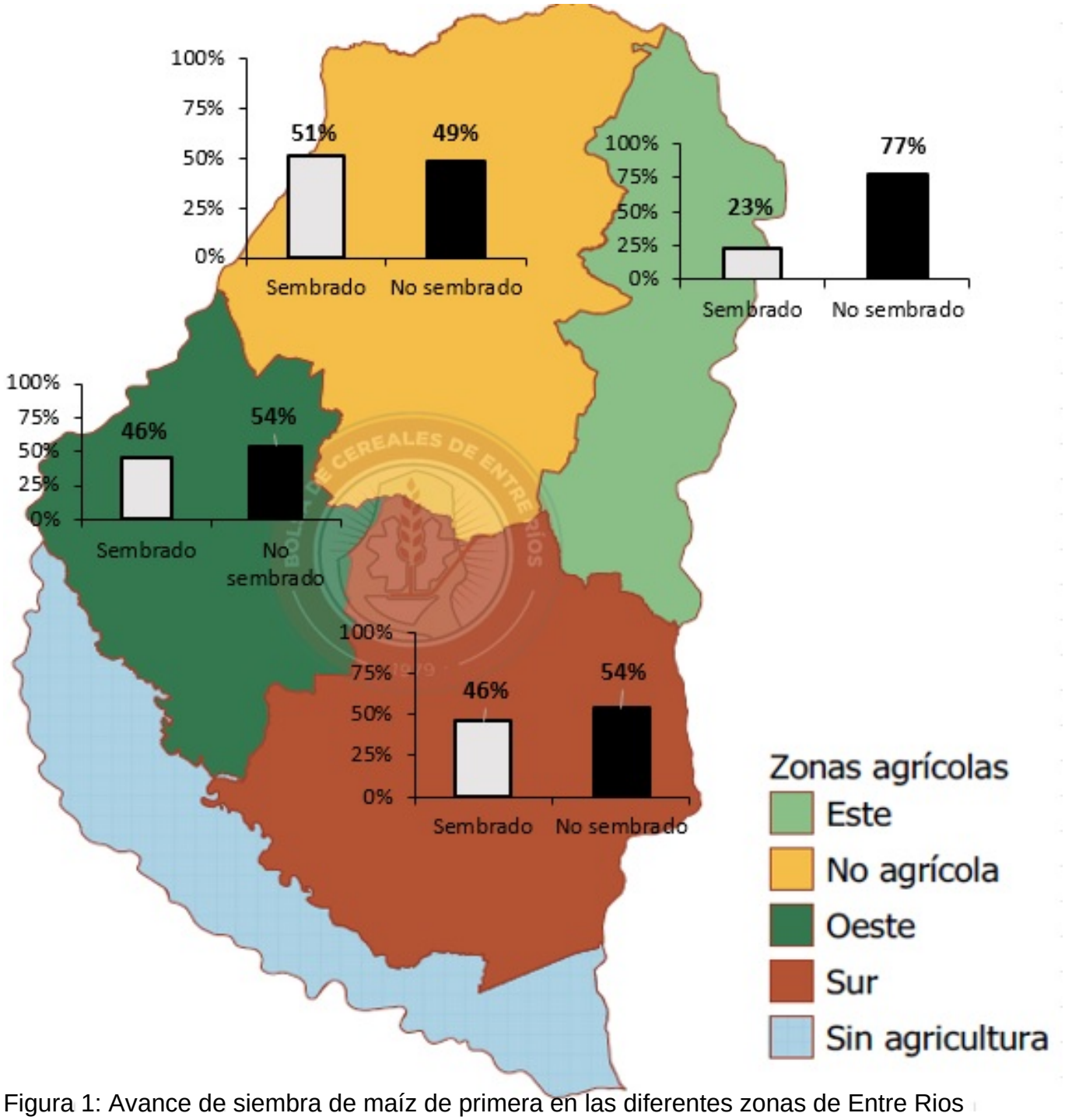



Figura 1: Avance de siembra de maíz de primera en las diferentes zonas de Entre Rios

De acuerdo con lo informado por los colaboradores, las principales dificultades se concentran en el norte y este de Entre Ríos, donde persisten condiciones de elevada humedad en los suelos. Esta situación limita el ingreso de la maquinaria a los lotes y, en algunos casos, obliga a demorar las labores hasta alcanzar condiciones adecuadas para la siembra.

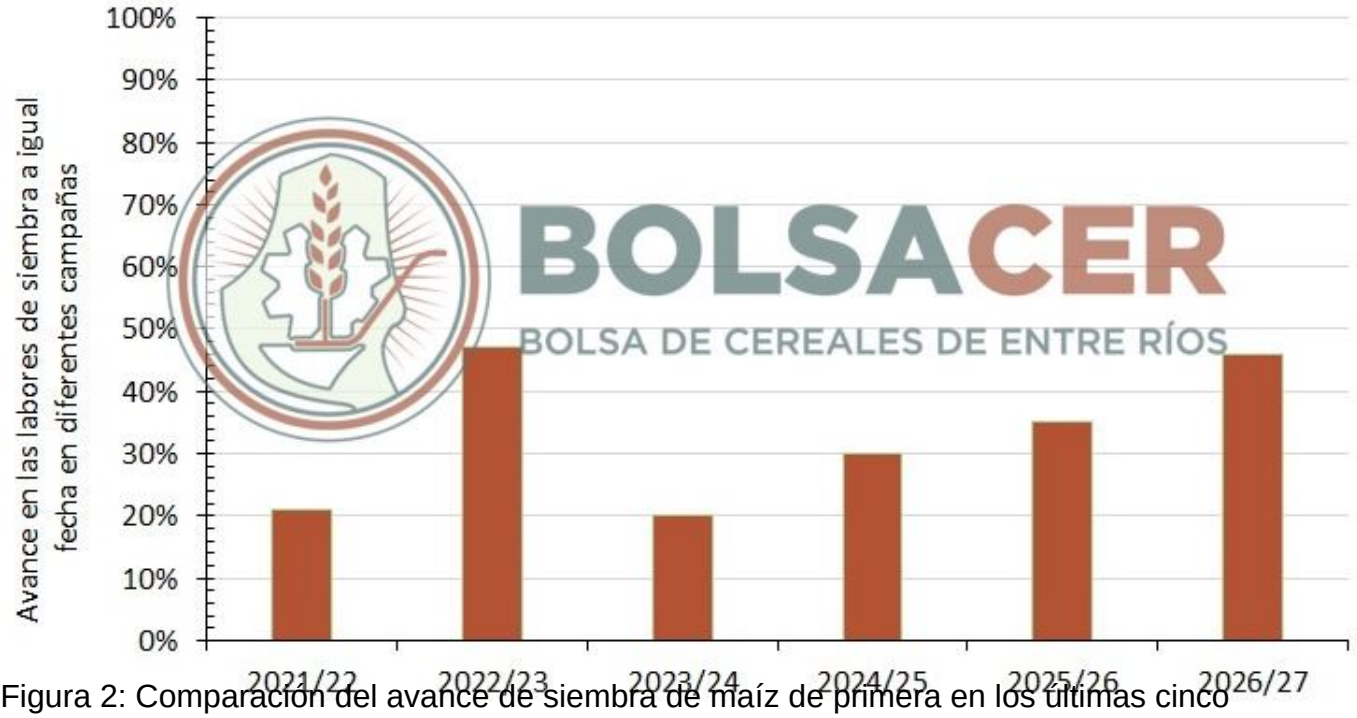



Figura 2: Comparación del avance de siembra de maíz de primera en los últimas cinco campañas y la actual a igual fecha ( Primera quincena de septiembre).

La Figura 2 muestra el avance de siembra registrado durante la primera quincena de septiembre para las últimas cinco campañas y su comparación con la campaña actual.

El promedio del quinquenio se ubica en 30 %, mientras que la campaña actual alcanza 16 puntos porcentuales superior al promedio. Este comportamiento evidencia un buen ritmo y una adecuada fluidez en las labores de siembra de maíz.

Sección: CONDICIÓN DEL LINO

La superficie cultivada con lino en la provincia de Entre Ríos para el ciclo 2026/27 se sitúa en 9.500 ha aproximadamente.

Los colaboradores informan que la gran mayoría de los lotes se encuentran entre botón floral a inicios de floración.



Figura 1. Lino. Dpto. Villaguay. Ing. Agr. Felix Roca

La condición de la oleaginosa a nivel provincial se resume del siguiente modo:

- Muy buena 5 %
- Buena 73 %
- Regular 22 %

Los lotes regulares se asocian a lotes donde los excesos hídricos han ocasionado dificultades en el control de malezas y menor disponibilidad de nitrógeno.

Sección: BOLETÍN AGRÍCOLA ECONÓMICO SIBER-INTA (PRESIEMBRA DE MAÍZ DE PRIMERA) N° 104

La Bolsa de Cereales de Entre Ríos (BOLSACER) y el INTA EEA Paraná elaboraron el presente boletín para aportar información económica de la próxima campaña 2026/27 del cultivo de maíz, basada en datos sobre la tecnología aplicada por productores, con datos de precios y comercialización aportada por la Red de Colaboradores del SIBER, BOLSACER.

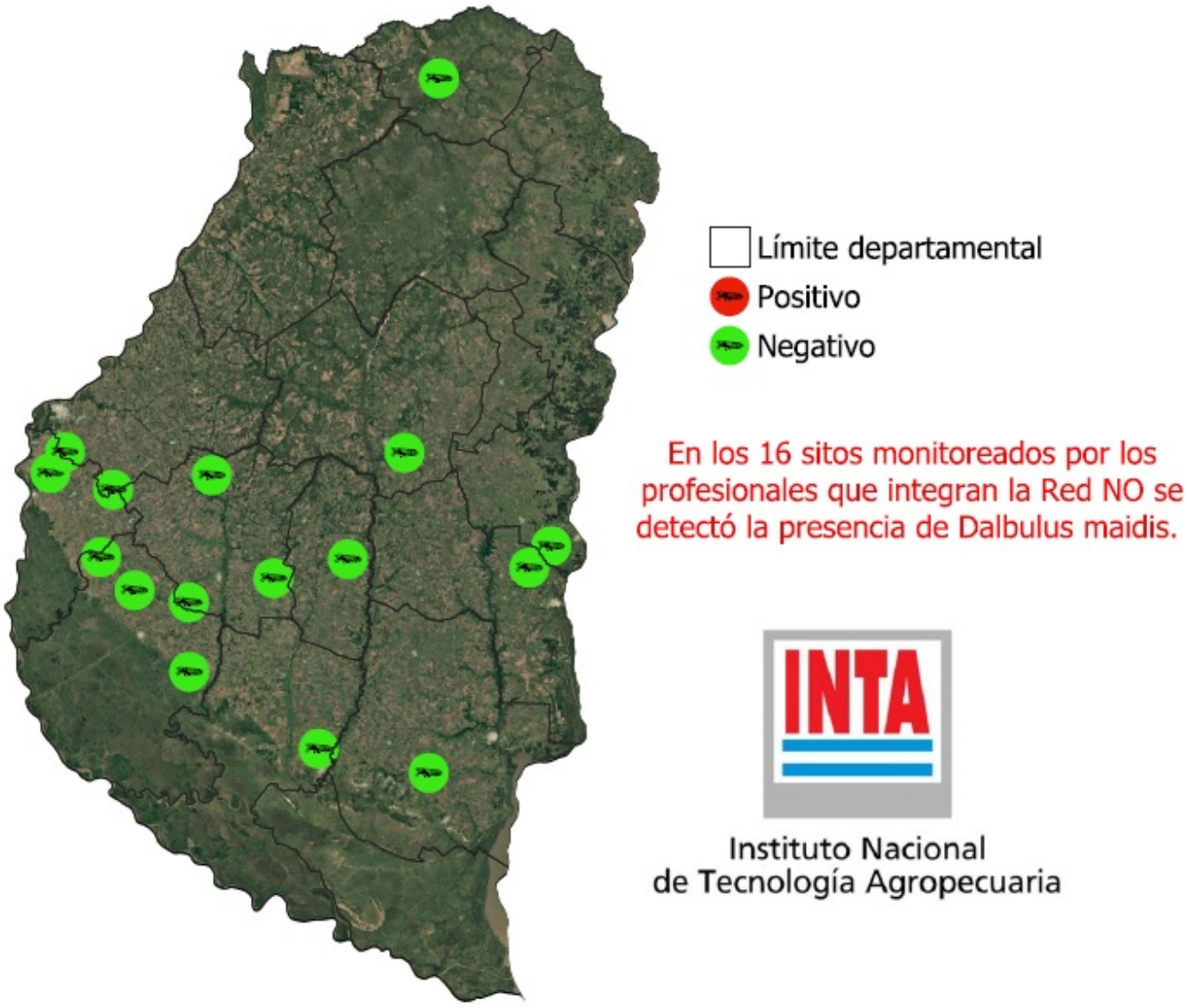
Para ver el informe completo presione el siguiente link:

Sección: RED DE MONITOREO DE CHICHARRITA - INTA, CENTRO REGIONAL ENTRE RÍOS

**Información sobre *Dalbulus maidis* en avena, raigrás, trigo, colza, vicia, alfalfa y bordes vegetados en Entre Ríos**

**55 INFORME- PERÍODO 4 al 9 de septiembre de 2026**

**En los 16 sitos monitoreados por los profesionales que integran la Red NO se detectó la presencia de *Dalbulus maidis*.**




A continuación, se detallan los valores correspondientes a la densidad de chicharritas por $m^2$ en avena, avena + vicia, trigo, alfalfa y bordes vegetados (Tabla 1, 160 golpes de red). Además, se presentan datos provenientes de las capturas en trampas cromáticas adhesivas (Tabla 2), pertenecientes a profesionales del Círculo de Ingenieros Agrónomos de Victoria (CIAV), de la AER Victoria y de la EEA Paraná del INTA.

**Tabla 1.** Densidad de chicharrita por $m^2$ de acuerdo con el cultivo/pastura/borde vegetado y sitio monitoreado.

| Sitio | Cultivo | Densidad (chicharrita/$m^2$) |
|---|---|---|
| Nogoyá | Alfalfa | 0 |
| Crespo | Alfalfa | 0 |
| Villaguay | Alfalfa | 0 |
| Colón | Alfalfa + raigrás | 0 |
| Gualeguay | Avena + Vicia | 0 |
| Gualeguaychú | Borde vegetado | 0 |
| Rosario del Tala | Trigo | 0 |
| Paraná | Trigo | 0 |
| Diamante | Trigo | 0 |
| Feliciano | Trigo | 0 |
| María Grande | Alfalfa + Avena | 0 |

**Tabla 2.** Densidad de chicharrita por trampa cromática adhesiva de acuerdo con el sitio monitoreado o nombre del Establecimiento y cultivo.

| | Sitio | Cultivo-EF | Densidad (chicharrita/trampa) |
|---|---|---|---|
| **Departamento Victoria** | Don Bernardo | Trigo | 0 |
| | Febre | Colza | 0 |
| | Rincón de Nogoyá | Vicia | 0 |
| | El Mambu | Vicia + Colza | 0 |
| **Departamento Paraná** | EEA Paraná | Trigo | 0 |

**Consideraciones:**

- En los monitoreos realizados con red de arrastre y trampas cromáticas no se detectaron adultos de chicharritas del maíz. Las temperaturas bajas registradas en estos últimos días posiblemente incidieron en la supervivencia de este insecto vector, como así también de las plantas voluntarias que emergieron luego de las precipitaciones ocurridas en diferentes zonas agrícolas de la provincia.
- **El MONITOREO de chicharritas en cultivos no hospedantes y los análisis moleculares para determinar la cantidad de ellas que son portadoras de patógenos, en este periodo, previo a la siembra de maíz de primera es FUNDAMENTAL, ya que permitirá programar con antelación posibles estrategias de manejo del insecto vector.**
- Seguir los Informes de la Red Nacional de Monitoreo mediante trampas cromáticas

adhesivas (https://www.argentina.gob.ar/red-nacional-de-monitoreo-informes).

Sección: PERSPECTIVAS ECÓNOMICAS FAVORABLES PARA LA CAMPAÑA DE SOJA 2026/27

De cara a la próxima campaña de soja en la provincia, el panorama económico se presenta sumamente positivo tanto para los planteos de primera como de segunda. Esta perspectiva se encuentra fuertemente traccionada por una tendencia alcista consolidada, que se refleja tanto en los precios pizarra actuales como en las posiciones del mercado de futuros.

A principios de septiembre de 2026, el precio pizarra de la soja alcanzó los 370 U$S/t, impulsado por una sostenida escalada que inició a mediados de agosto. Este valor representa el máximo nivel registrado desde 2024 y se ubica un 23% por encima de las cotizaciones vigentes al inicio de septiembre del año anterior. Incluso, supera en un 3,3% a los picos registrados a fines de aquel mismo mes de 2025, momento en el cual el mercado había reaccionado al alza ante la ventana temporal de retenciones del 0%.

Este escenario alcista también domina las expectativas a cosecha. Actualmente, la posición mayo 2027 en el mercado de futuros se sitúa en 360 U$S/t (con datos al 10 de septiembre), siguiendo la tendencia del mercado disponible y ubicándose apenas un 2,7% por debajo del precio pizarra actual.

El escenario de la soja de primera

Bajo la actual estructura de costos y considerando las cotizaciones futuras proyectadas a cosecha, el rendimiento de indiferencia provincial para la soja de primera se ubica en 1.345 kg/ha en campo propio y asciende a 2.115 kg/ha bajo la modalidad de arrendamiento. Estos volúmenes se lograron alcanzar en cuatro de las últimas cinco campañas gracias a los buenos desempeños recientes del cultivo, con una única excepción en la campaña 2022/23, producto de la sequía. Al comparar este umbral con el rendimiento promedio del último lustro en cada zona, se evidencia que históricamente el territorio entrerriano se ha encontrado por encima del requerimiento productivo actual necesario para igualar los costos frente a los precios a cosecha.

Considerando un esquema de producción bajo arrendamiento y rindes promedio de los últimos cinco años (exceptuando la campaña 2022/23 de la sequía), los márgenes brutos a precios a cosecha resultan positivos en todo el territorio provincial. Se estima un promedio proyectado de 78 U$S/ha, destacándose los mayores beneficios en las zonas Oeste y Norte (Figura 1).




Figura 1. Proyección de márgenes por zona a precios futuro mayo 2027 y producción bajo arrendamiento en soja de primera

El escenario de la soja de segunda

En el cultivo de soja de segunda, bajo la estructura de costos actual y precios futuros de cosecha, el rendimiento de indiferencia provincial se sitúa en 1.033 kg/ha para una producción en campo propio y en 1.508 kg/ha para una producción bajo arrendamiento. Al igual que en los planteos de primera, estos niveles productivos se alcanzaron con éxito en cuatro de las últimas cinco campañas, siendo la sequía del ciclo 2022/23 la única excepción.

Bajo un esquema de producción en arrendamiento y asumiendo rindes históricos promedio (aislando nuevamente el impacto de la campaña 2022/23), los márgenes brutos proyectados a

cosecha son positivos en todas las zonas de la provincia. El promedio provincial se estima en 192 U$S/ha, liderado también por los excelentes resultados de las zonas Oeste y Norte (Figura 2).




Figura 2. Proyección de márgenes por zona a precios futuro mayo 2027 y producción bajo arrendamiento en soja de segunda.

El análisis de sensibilidad frente al precio demuestra una amplia solidez económica de esta campaña frente a eventuales correcciones del mercado. Para que los márgenes brutos provinciales caigan a cero, el precio a cosecha de la soja de primera debería sufrir un desvío negativo del 10% respecto a la cotización actualmente proyectada en los futuros. En el caso del cultivo de segunda, el margen de maniobra es aún mayor, ya que se requeriría un desplome del 35% en el precio estimado para que la provincia deje de percibir ingresos por encima de sus costos.

Sección: CARACTERIZACIÓN DEL RIESGO CLIMÁTICO PARA ENFERMEDADES Y SITUACIÓN SANITARIA DEL CULTIVO DE TRIGO PERÍODO 1 AL 7 DE SEPTIEMBRE DE 2026

La Bolsa de Cereales de Entre Ríos y el INTA continúan con el seguimiento del riesgo climático para las principales enfermedades del cultivo de trigo durante la campaña 2026. Para el período comprendido entre el 1 y el 7 de septiembre, se analizaron las condiciones de temperatura y humedad relativa registradas por la red de centrales meteorológicas automáticas de la Bolsa de Cereales de Entre Ríos, considerando su relación con el desarrollo de mancha amarilla (*Pyrenophora tritici-repentis/Drechslera tritici-repentis*), roya amarilla o estriada (*Puccinia striiformis* f. sp. *tritici*), roya de la hoja o anaranjada (*Puccinia triticina*) y roya del tallo (*Puccinia graminis* f. sp. *tritici*). Asimismo, se presenta una perspectiva de riesgo climático para los días siguientes, estimada a partir de condiciones meteorológicas pronosticadas mediante el modelo meteorológico WRF, con una resolución espacial de 9 km, en el marco del Convenio de Cooperación entre la Bolsa de Cereales de Entre Ríos y la Universidad Nacional de La Plata.

**Condiciones de temperatura y humedad relativa**

Durante el período analizado, las temperaturas medias mostraron un marcado descenso. Los valores se ubicaron próximos a 15–16 °C durante los primeros días y disminuyeron progresivamente a partir del 4 de septiembre, alcanzando registros inferiores a 10 °C hacia el final del período. Estas condiciones térmicas se ubicaron inicialmente dentro o próximas a los rangos considerados favorables para mancha amarilla, roya amarilla y roya de la hoja. Posteriormente, el descenso de las temperaturas redujo la coincidencia con estos rangos, aunque los valores se mantuvieron dentro del rango considerado favorable para roya amarilla durante gran parte del período (Figura 1).

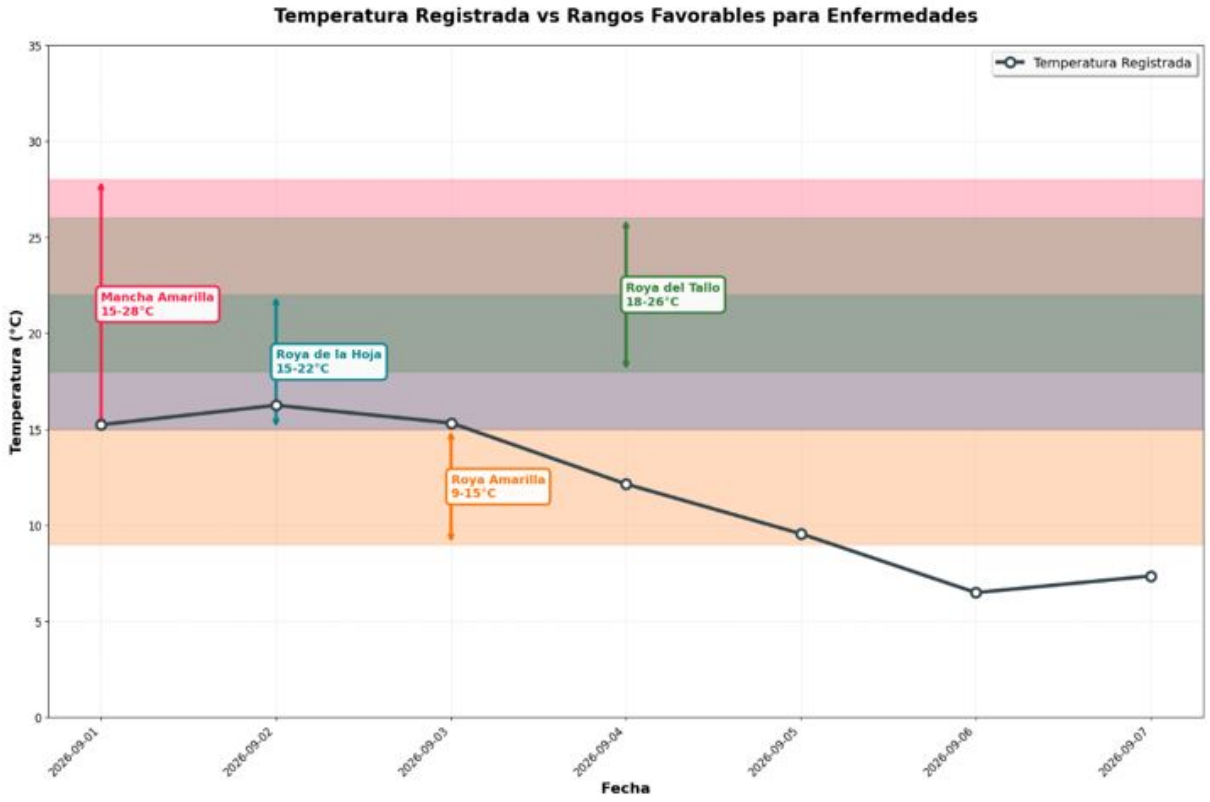



Figura 1. Evolución de la temperatura media durante el período comprendido entre el 1 y el 7 de septiembre de 2026 y rangos de temperatura considerados favorables para las principales

enfermedades del trigo.

La humedad relativa también presentó una tendencia descendente. Los valores fueron elevados al inicio del período, próximos al 90 %, y disminuyeron durante los días siguientes, ubicándose por debajo del 80 % a partir del 3 de septiembre y próximos al 65–70 % hacia el final del período. En consecuencia, durante gran parte de la semana la humedad relativa se mantuvo por debajo de los umbrales considerados favorables para las enfermedades analizadas (Figura 2).

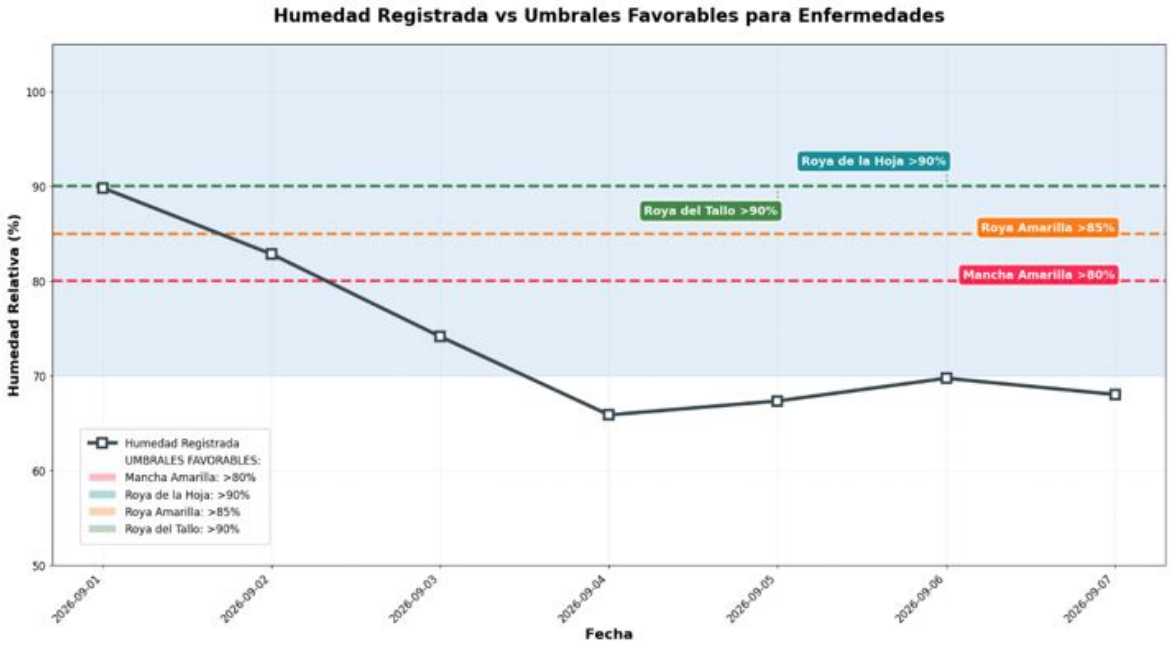



Figura 2. Evolución de la humedad relativa durante el período comprendido entre el 1 y el 7 de septiembre de 2026 y umbrales de humedad relativa considerados favorables para las principales enfermedades del trigo.

En conjunto, el descenso de las temperaturas y de la humedad relativa redujo la coincidencia de condiciones ambientales favorables para el desarrollo de las enfermedades foliares consideradas respecto del período anterior.

**Mapas de riesgo climático**

Los mapas correspondientes al período comprendido entre el 1 y el 7 de septiembre mostraron una disminución general de los niveles de riesgo climático respecto del período anterior (Figura 3). El nivel de riesgo expresa qué tan favorables fueron las condiciones meteorológicas para cada enfermedad y no implica necesariamente su presencia en los lotes.

Para mancha amarilla predominaron condiciones de riesgo moderado en gran parte de la provincia. Para roya de la hoja, se observaron principalmente condiciones de riesgo moderado. La roya amarilla presentó los niveles de riesgo más elevados, con predominio de condiciones de riesgo moderado y sectores de riesgo alto hacia el centro-este y sudeste provincial. Para roya del tallo, predominaron condiciones de riesgo bajo.

En comparación con el período comprendido entre el 25 y el 31 de agosto, se observó una disminución general del riesgo climático para las cuatro enfermedades consideradas. La reducción fue particularmente evidente para mancha amarilla, roya de la hoja y roya amarilla, mientras que para roya del tallo también se registraron menores niveles de riesgo.

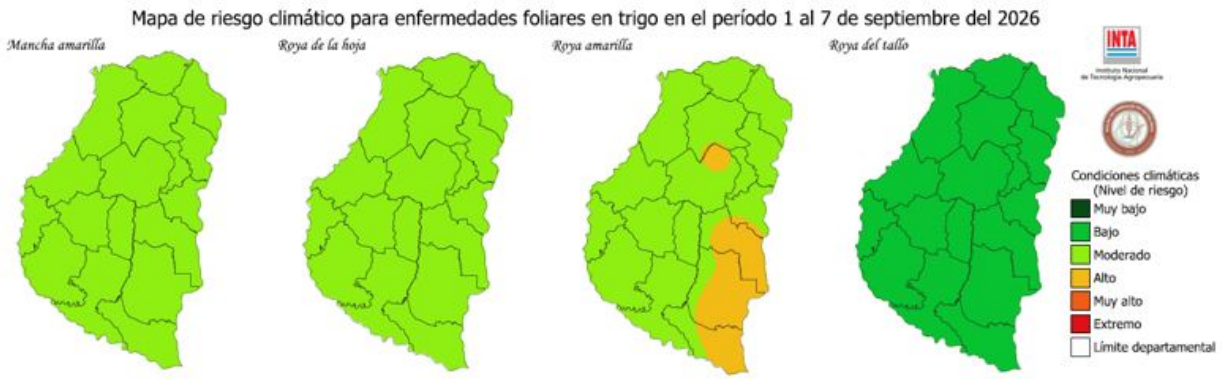



Figura 3. Mapas de riesgo climático para mancha amarilla, roya de la hoja, roya amarilla y roya del tallo en la provincia de Entre Ríos, correspondientes al período comprendido entre el 1 y el 7 de septiembre de 2026.

**Situación sanitaria de los lotes monitoreados**

Como parte del seguimiento sanitario periódico de lotes de trigo durante la campaña 2026, los días 7 y 8 de septiembre se relevaron dieciocho lotes ubicados en los departamentos Diamante, Uruguay y Villaguay (Tabla 1).

| Lote | Coordenadas geográficas | Sitio | Departamento | Cultivar | Antecesor |
|---|---|---|---|---|---|
| 1 | 31°58'36.68" S 60°37'20.46" O | Aldea Valle María | Diamante | DM Pehuén | Trigo/soja |
| 2 | 31°59'08.13" S 60°38'04.69" O | Aldea Valle María | Diamante | Baguette 620 | Maíz |
| 3 | 31°58'36.79" S 60°39'49.00" O | General Alvear | Diamante | DM Pehuén | Maíz |
| 4 | 32°00'42.71" S 60°35'01.43" O | Aldea Valle María | Diamante | Baguette 620 | Trigo/soja |
| 5 | 31°59'37.51" S 60°38'59.45" O | Aldea Valle María | Diamante | DM Catalpa | Trigo/soja |
| 6 | 31°59'07.53" S 60°32'05.49" O | Aldea Grapschental | Diamante | DM Catalpa | Maíz |
| 7 | 31°56'10.97" S 60°34'33.98" O | Aldea Spatzenkutter | Diamante | DM Tipa | Maíz |
| 8 | 32°29'11.15" S 58°23'20.44" O | C. del Uruguay | Uruguay | DM Catalpa | Maíz |
| 9 | 32°29'18.17" S 58°23'19.36" O | C. del Uruguay | Uruguay | DM Ceibo | Soja |
| 10 | 32°29'11.83" S 58°24'31.54" O | Villa Horacio | Uruguay | s/d | Soja |
| 11 | 32°28'46.34" S 58°24'51.08" O | Caseros | Uruguay | DM Ceibo | Soja |
| 12 | 32°31'25.90" S 58°22'48.90" O | EEA C. del Uruguay | Uruguay | ACA 921 | Triticale |
| 13 | 32°31'25.90" S 58°22'48.90" O | EEA C. del Uruguay | Uruguay | ACA 607 | Sorgo |
| 14 | 31°41'25.86" S 58°43'54.55" O | Jubileo | Villaguay | DM Pehuén | Maíz |
| 15 | 32°33'46.33" S 58°20'12.74" O | Colonia El Sauce | Uruguay | IS Tordo | Maíz |
| 16 | 32°33'35.88" S 58°22'32.59" O | Talita | Uruguay | Baguette 620 | Maíz |
| 17 | 32°24'12.56" S 58°27'35.14" O | Pronunciamiento | Uruguay | ACA 602 | Maíz |
| 18 | 32°28'43.64" S 58°25'33.24" O | San Justo | Uruguay | Baguette 620 | Maíz |

Tabla 1. Características de los lotes de trigo incluidos en el seguimiento sanitario en los departamentos Diamante, Uruguay y Villaguay.

Los cultivos evaluados se encontraban entre los estados fenológicos **Z25 y Z57**, según la

escala de Zadoks. La **mancha amarilla** fue la única enfermedad detectada y estuvo presente en los dieciocho lotes monitoreados. La incidencia varió entre 3,3 **y 100 %**, mientras que la severidad se ubicó entre **0,01 y 30,0 %** (Tabla 2). No se observaron síntomas de roya amarilla, roya de la hoja ni roya del tallo.

| Lote | Estado fenológico* | Mancha amarilla | |
|---|---|---|---|
| | | I (%) | S (%) |
| 1 | 39 | 100,0 | 4,4 |
| 2 | 41 | 80,0 | 0,1 |
| 3 | 41 | 80,0 | 0,3 |
| 4 | 41–45 | 96,7 | 0,4 |
| 5 | 39 | 100,0 | 3,2 |
| 6 | 43–45 | 83,3 | 0,2 |
| 7 | 43–45 | 96,2 | 0,5 |
| 8 | 37 | 46,7 | 15,7 |
| 9 | 25 | 33,3 | 0,3 |
| 10 | 26 | 100,0 | 30,0 |
| 11 | 37 | 36,7 | 1,2 |
| 12 | 37 | 36,7 | 1,2 |
| 13 | 37 | 36,7 | 1,2 |
| 14 | 37 | 36,7 | 1,2 |
| 15 | 32 | 46,7 | 1,6 |
| 16 | 39–53 | 3,3 | 0,01 |
| 17 | 43–57 | 23,3 | 2,5 |
| 18 | 36 | 70,0 | 2,0 |

**Estado fenológico según la escala de Zadoks. Los intervalos indican el rango de estados fenológicos observado en las plantas evaluadas. Incidencia: porcentaje de plantas afectadas. Severidad: porcentaje de área foliar afectada.*

Tabla 2. Incidencia (I) y severidad (S) de mancha amarilla en los lotes de trigo monitoreados en los departamentos Diamante, Uruguay y Villaguay los días 7 y 8 de septiembre de 2026.

Asimismo, en lotes del departamento **Gualeguaychú** se informó una baja incidencia de mancha amarilla (**2 a 5 %**) en cultivos entre **Z32 y Z37**, sin detección de royas. Los cultivares relevados fueron **DM Pehuén, DM Catalpa, DM Araucaria y DM Aromo** (Ing. Agr. Pablo Glagovsky, Campo Global).

## Perspectiva de riesgo climático

A partir de las condiciones meteorológicas pronosticadas para el período comprendido entre el **8 y el 14 de septiembre**, se estimó la evolución diaria del riesgo climático para mancha amarilla, roya amarilla, roya de la hoja y roya del tallo (Figura 4).

Para **mancha amarilla**, se prevé un aumento del riesgo durante los primeros días, con los mayores niveles hacia el **10 y 11 de septiembre**, seguido de una disminución marcada. Una evolución similar se observa para **roya de la hoja**, aunque con niveles de riesgo algo menores. Para **roya amarilla**, el riesgo se mantendría en niveles moderados durante buena parte del período, con un incremento hacia el **12 de septiembre**. En el caso de **roya del tallo**, los niveles previstos son comparativamente bajos, con un aumento transitorio hacia el **10 y 11 de septiembre**.

En conjunto, la perspectiva indica que las condiciones de mayor riesgo climático se concentrarían **hacia mediados del período**, principalmente para mancha amarilla, roya amarilla y roya de la hoja, mientras que hacia el final se prevén, en general, niveles menores.

Estas estimaciones se basan en condiciones meteorológicas pronosticadas y, por lo tanto, pueden modificarse conforme se actualicen los pronósticos.

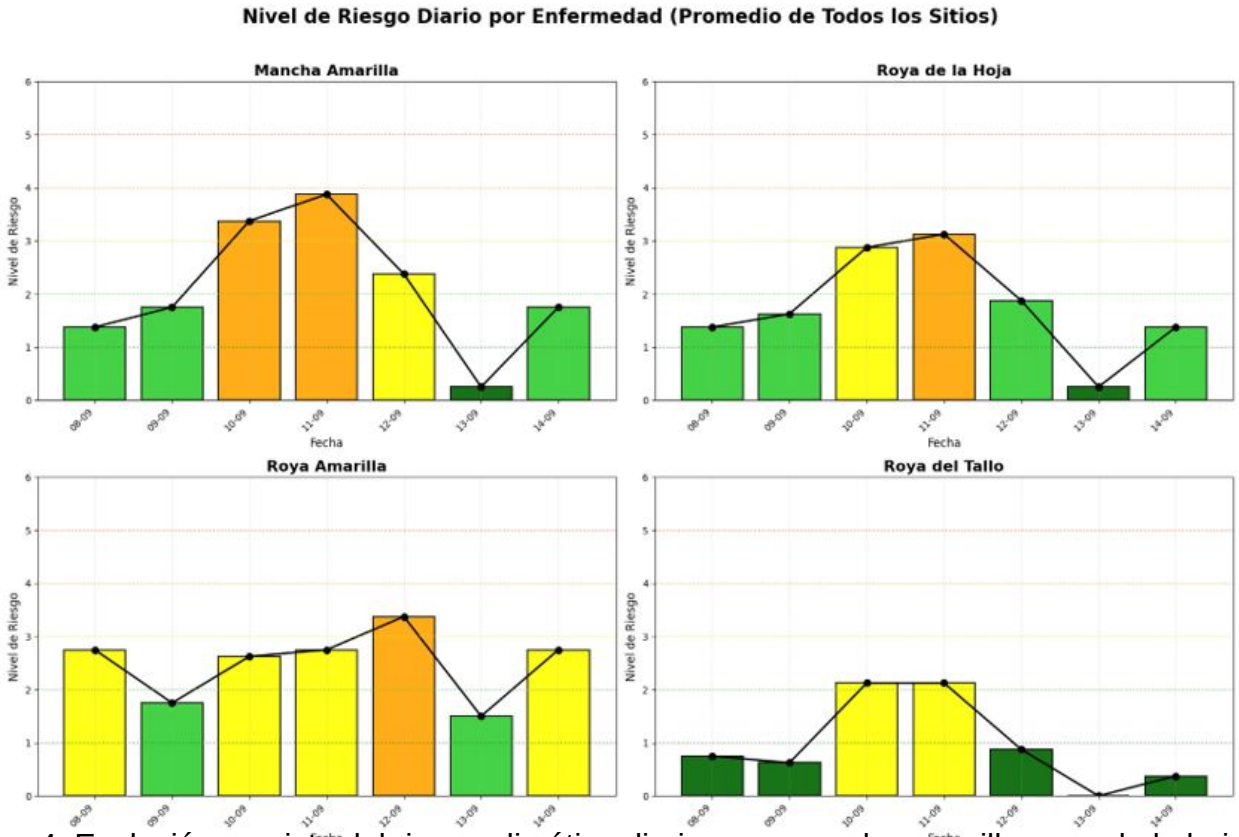



Figura 4. Evolución prevista del riesgo climático diario para mancha amarilla, roya de la hoja, roya amarilla y roya del tallo durante el período comprendido entre el 8 y el 14 de septiembre de 2026, considerando el promedio de los sitios analizados.

## Síntesis

Durante el período comprendido entre el **1 y el 7 de septiembre**, el descenso de la temperatura y de la humedad relativa determinó una **reducción general del riesgo climático** para las enfermedades foliares consideradas respecto de la semana anterior. La roya amarilla presentó comparativamente los mayores niveles de riesgo, mientras que para roya del tallo predominaron los niveles más bajos.

En todos los **lotes monitoreados**, la **mancha amarilla fue la única enfermedad detectada**, con incidencias entre 3,3 **y 100,0 %** y severidades entre **0,01 y 30,0 %**. En lotes del departamento **Gualeguaychú** también se informó presencia de mancha amarilla, aunque con baja incidencia. **No se detectaron royas en los lotes relevados de ambos departamentos.**

Para el período comprendido entre el **8 y el 14 de septiembre**, se prevé un **aumento transitorio del riesgo climático hacia mediados del período**, principalmente para mancha amarilla, roya amarilla y roya de la hoja, seguido, en general, por una disminución hacia los días posteriores.

**Equipo participante:**

Ing. Agr. Pablo D. Velazquez (Laboratorio de Patología Vegetal, INTA EEA Paraná)

Ing. Agr. Miriam Asselborn (Laboratorio de Fitopatología – Cultivos de secano, INTA EEA Concepción del Uruguay)

Ing. Agr. Pablo Fontanini (Bolsa de Cereales de Entre Ríos)

Ing. Agr. Evangelina Spengler (Bolsa de Cereales de Entre Ríos)

Sra. Ludmila Varela (Bolsa de Cereales de Entre Ríos)

Ing. Agr. Florencia Casse (INTA AER Colón)

Ing. Agr. Héctor Rodríguez (INTA AER San Salvador)

Aux. Téc. Juan C. Velazquez (INTA EEA